A la **Figure 1 ci-dessous**, une structure toute en acier  $E = 200 \, GPa$  est fixée à un mur en A.

Des points A à C, elle est composée des deux barres parallèles liées en B à une barre simple, de forme circulaire. La plaque mince liant les poutres en B se déplace sans se déformer. Les deux barres AB subissent la même déformation et la masse des barres est négligeable.

Une force  $F_C = 5 \, kN$ , pointant dans la direction positive de l'axe des x, est appliquée au point C. Une autre force inconnue,  $F_B$ , pointant dans la direction négative de l'axe des x, est appliquée au point B.

Le système est soumis à une augmentation positive de température de 10°C.

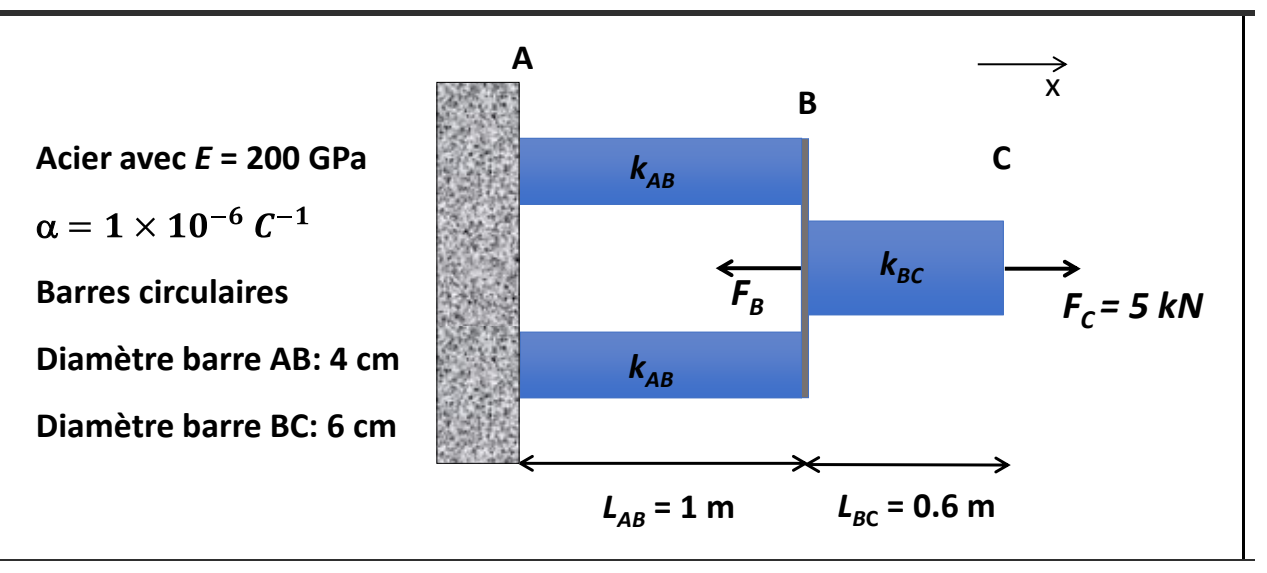


Figure 1: Structure composée de barres soumises à des forces axiales.

## A la température initiale :

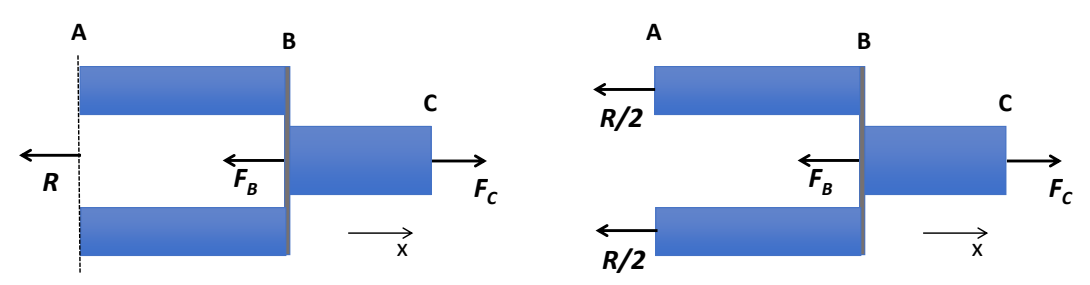
 a) [1 point] Dessiner le diagramme des corps libres de l'ensemble du système et donner l'expression analytique de l'équation d'équilibre.

En tenant compte de l'augmentation de température de 10°C en b), c), d), et e):

- b) [2 points] Donner la valeur numérique du déplacement au point C dû seulement à cette augmentation de température.
- c) [5 points] Donner la valeur numérique de la force  $F_B$  appliquée pour que le déplacement au point C soit nul.
- d) [1 point] Exprimer la contrainte dans les segments AB en fonction des forces  $F_B$  et  $F_C$  et de l'aire.
- e) [3 points] Donner l'expression de l'énergie de déformation relative du système complet en fonction des forces appliquées,  $F_B$  et  $F_C$ , et des constantes de rigidité  $k_{AB}$  et  $k_{BC}$ .

a) [1 point] Dessiner le diagramme des corps libres de l'ensemble du système et donner l'expression analytique de l'équation d'équilibre.

Deux versions possibles du diagramme des corps libre :



Equation d'équilibre :  $-R - F_B + F_c = 0$ 

b) [2 points] Quel est le déplacement au point C dû à cette augmentation de température ?

$$\Delta L_{tot} = \Delta L_{AB} + \Delta L_{BC} = \alpha \Delta T \times (L_{AB} + L_{BC})$$
  
$$\Delta L_{tot} = 1 \times 10^{-6} \times 10^{\circ} C \times 1.6 m = 1.6 \times 10^{-5} m$$

c) [5 points] Quelle est la valeur de la force  ${\cal F}_B$  qui doit être appliquée pour que le déplacement du point C soit nul ?

$$\begin{split} \delta_{AT} + \delta_{AB} + \delta_{BC} &= 0 \\ \delta_{AT} &= 1.6 \times 10^{-5} \ m \ et \ A_{AB} = \pi \times 0.02^{2}, \ A_{BC} = \pi \times 0.03^{2} \\ \delta_{BC} &= \frac{N_{BC}}{k_{BC}} = \frac{F_{C}}{\frac{EA_{BC}}{L_{BC}}} = \frac{F_{C}L_{BC}}{EA_{BC}} \\ \delta_{AB} &= \frac{N_{AB}}{k_{AB}} = \frac{F_{C}/2 - F_{B}/2}{k_{AB}} = \frac{F_{C} - F_{B}}{2k_{AB}} = \frac{(F_{C} - F_{B}) L_{AB}}{2EA_{AB}} \\ \delta_{AT} + \delta_{AB} + \delta_{BC} &= \frac{(F_{C} - F_{B}) L_{AB}}{2EA_{AB}} + \frac{F_{C}L_{BC}}{EA_{BC}} + \delta_{AT} = 0 \\ &- \frac{F_{B} L_{AB}}{2EA_{AB}} + \frac{F_{C} L_{AB}}{2EA_{AB}} + \frac{F_{C}L_{BC}}{EA_{BC}} + \delta_{AT} = 0 \\ F_{B} &= \frac{2EA_{AB}}{L_{AB}} \left( \frac{F_{C} L_{AB}}{2EA_{AB}} + \frac{F_{C}L_{BC}}{EA_{BC}} + \delta_{AT} \right) = \frac{2A_{AB}}{L_{AB}} \left( \frac{F_{C} L_{AB}}{2A_{AB}} + \frac{F_{C}L_{BC}}{A_{BC}} + \delta_{AT} E \right) \\ F_{B} &= 15 709 \ N \end{split}$$

d) [1 point] Exprimer la contrainte dans les segments AB en fonction des forces  $F_B$  et  $F_C$ .

$$\sigma_{AB} = \frac{N_{AB}}{A_{AB}} \quad avec \quad N_{AB} = \frac{F_C}{2} - \frac{F_B}{2}$$

$$\sigma_{AB} = \frac{F_C - F_B}{2A_{AB}}$$

$$N_{AB} = \frac{F_B/2}{2A_{AB}}$$

$$N_{AB} = \frac{F_B/2}{2A_{AB}}$$

e) [3 points] Donner l'expression de l'énergie de déformation relative du système complet en fonction des forces appliquées,  $F_B$  et  $F_C$  et des rigidités  $k_{AB}$  et  $k_{BC}$ .

$$U_{tot} = U_{AB} + U_{BC}$$
 avec  $U = \frac{N^2}{2k}$ 

ou en utilisant: 
$$U_{tot} = \int_0^\delta F \ d\delta = \int_0^\delta \delta * k \ d\delta$$

$$U_{tot} = \int_0^{\delta_{AB}} \delta_{AB} * 2k_{AB} \ d\delta + \int_0^{\delta_{BC}} \delta_{BC} * k_{BC} \ d\delta = k_{AB} * \delta_{AB}^2 + \frac{1}{2} k_{BC} * \delta_{BC}^2 \text{ avec } \delta = \frac{F}{k}$$

$$U_{BC} = \frac{F_c^2}{2k_{BC}}$$

ou 
$$U_{BC} = u_{BC} * V_{BC} = \frac{1}{2} * \frac{\sigma_{BC}^2}{E} * L_{BC} A_{BC} = \frac{1}{2} * \frac{F_c^2}{E A_{BC}^2} * L_{BC} A_{BC} = \frac{F_c^2}{2k_{BC}}$$

$$U_{AB} = \frac{N_{eq}^2}{2k_{eq}} = \frac{(F_C - F_B)^2}{4k_{AB}} \ avec \ k_{eq} = 2k_{AB}$$

ou en sommant pour les 2 barres AB:

$$U_{AB} = 2 \times \frac{N_{AB}^2}{2k_{AB}} = 2 \times \frac{(F_C/_2 - F_B/_2)^2}{2k_{AB}} = \frac{(F_C - F_B)^2}{4k_{AB}}$$

ou 
$$U_{AB} = u_{AB} * V_{AB} = \frac{1}{2} * \frac{\sigma_{AB}^2}{E} * 2L_{AB}A_{AB} = \frac{1}{2} * \frac{(F_C - F_B)^2}{E4A_{AB}^2} * 2L_{AB}A_{AB} = \frac{(F_C - F_B)^2}{4k_{AB}}$$

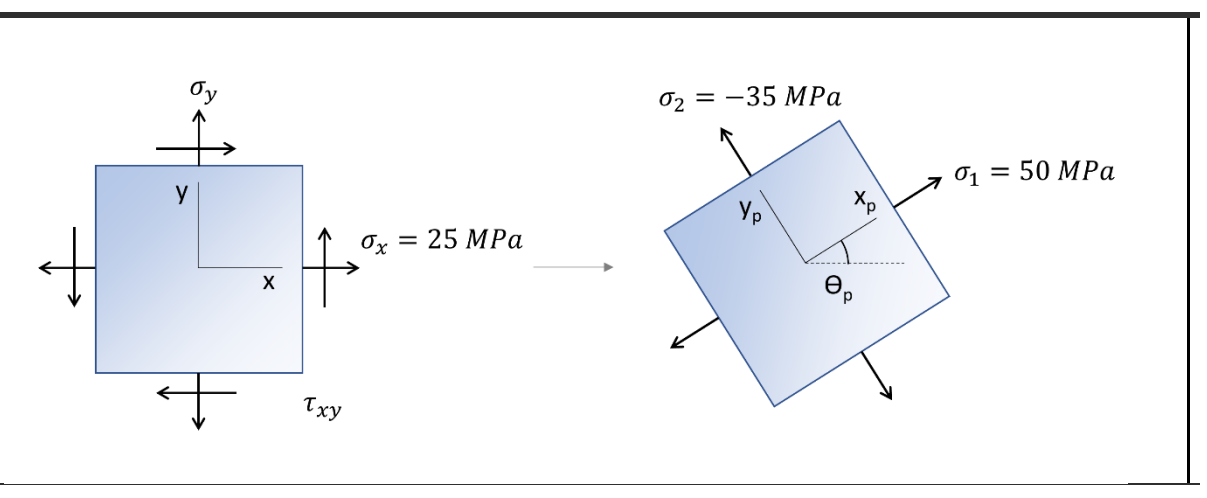
et donc 
$$U_{tot} = \frac{(F_C - F_B)^2}{4k_{AB}} + \frac{F_c^2}{2k_{BC}}$$

Considérer que tous les éléments de l'exercice suivant sont en deux dimensions (2D), c'est-à-dire que les contraintes et les déformations dans la direction Z sont nulles.

<u>Important</u>: Résoudre des systèmes d'équation uniquement numériquement ne rapportera aucun point. Une résolution analytique complète est demandée comme solution.

Les contraintes principales pour un élément bidimensionnel sont données comme suit :  $\sigma_1 = 50 \, MPa$ ,  $\sigma_2 = -35 \, MPa$  (Figure 2, à droite). De plus, selon les axes x-y,  $\sigma_x$  est connu comme étant 25 MPa, alors que  $\sigma_y$  et  $\tau_{xy}$  ne sont pas connus (Figure 2, à gauche).

- a) [3 points] Donner les expressions analytiques et les valeurs numériques de  $\sigma_y$  et  $au_{xy}$ .
- b) [2 points] Donner l'expression analytique et déterminer la valeur numérique, en degrés, de l'angle  $\theta_p$  des contraintes principales par rapport au système de coordonnées x-y.



**Figure 2 :** Elément bidimensionnel avec une contrainte normale connue dans la direction de l'axe des x (à gauche), et le même élément avec les valeurs connues pour les contraintes principales (à droite).

a) To determine the values for  $\sigma_y$  and  $\tau_{xy}$ , we can use the following relationships:

$$\sigma_x + \sigma_y = cst \to \sigma_x + \sigma_y = \sigma_1 + \sigma_2 \to \sigma_y = \sigma_1 + \sigma_2 - \sigma_x$$

$$\left(\frac{\sigma_x - \sigma_y}{2}\right)^2 + \tau_{xy} = cst \to \left(\frac{\sigma_x - \sigma_y}{2}\right)^2 + \tau_{xy}^2 = \left(\frac{\sigma_1 - \sigma_2}{2}\right)^2$$

$$\to \tau_{xy} = \sqrt{\left(\frac{\sigma_1 - \sigma_2}{2}\right)^2 - \left(\frac{\sigma_x - \sigma_y}{2}\right)^2}$$

Alternatively,  $\tau_{xy}$  can be obtained from the equation for  $\tau_{max}$ :

$$\tau_{max} = \sigma_1 - \sigma_2 = \sqrt{\left(\frac{\sigma_x - \sigma_y}{2}\right)^2 + \tau_{xy}^2}$$

$$\to \tau_{xy} = \sqrt{\left(\sigma_1 - \frac{\sigma_x + \sigma_y}{2}\right)^2 - \left(\frac{\sigma_x - \sigma_y}{2}\right)^2}$$

Numerical application:

$$\sigma_y = 50 + (-35) - 25 = -10 MPa$$

$$\tau_{xy} = \sqrt{\left(\frac{50 - (-35)}{2}\right)^2 - \left(\frac{25 - (-10)}{2}\right)^2} = \pm 38.73 MPa$$

b) We can use the formula for the calculation of the angle of the principal axes:

$$\theta_p = \frac{1}{2} \arctan\left(\frac{2\tau_{xy}}{\sigma_x - \sigma_y}\right) = \frac{1}{2} \arctan\left(\frac{2*38.73}{25 - (-10)}\right) = \pm 32.84^{\circ}$$

The drawing indicates a positive  $\theta_p$  and  $\tau_{xy}$ , however the negative values are also correct. Note that the signs of  $\tau_{xy}$  and  $\theta_p$  must match, otherwise the stress state is not congruent with the exercise description.

## Alternatively, point b) can be solved first, for example, as follows:

b) Knowing that the shear stress is 0 in the axes of the principal stresses:

$$\sigma_{x} = \frac{\sigma_{1} + \sigma_{2}}{2} + \frac{\sigma_{1} - \sigma_{2}}{2} cos(-2\theta_{p}) + 0 * sin(-2\theta_{p})$$

Rearranging this equation yields:

$$\theta_p = \frac{1}{2} \arccos\left(\frac{2\sigma_x - \sigma_1 - \sigma_2}{\sigma_1 - \sigma_2}\right)$$

Numerical application:

$$\theta_p = \frac{1}{2}\arccos\left(\frac{2*25-50-(-35)}{50-(-35)}\right) = \pm 32.84^{\circ}$$

a) The answer to point a) then follows using the transformation equations:

$$\sigma_{x} = \frac{\sigma_{1} + \sigma_{2}}{2} + \frac{\sigma_{1} - \sigma_{2}}{2} cos(-2\theta_{p}) + 0 * sin(-2\theta_{p}) = \frac{\sigma_{1} + \sigma_{2}}{2} + \frac{\sigma_{1} - \sigma_{2}}{2} cos(-2\theta_{p})$$

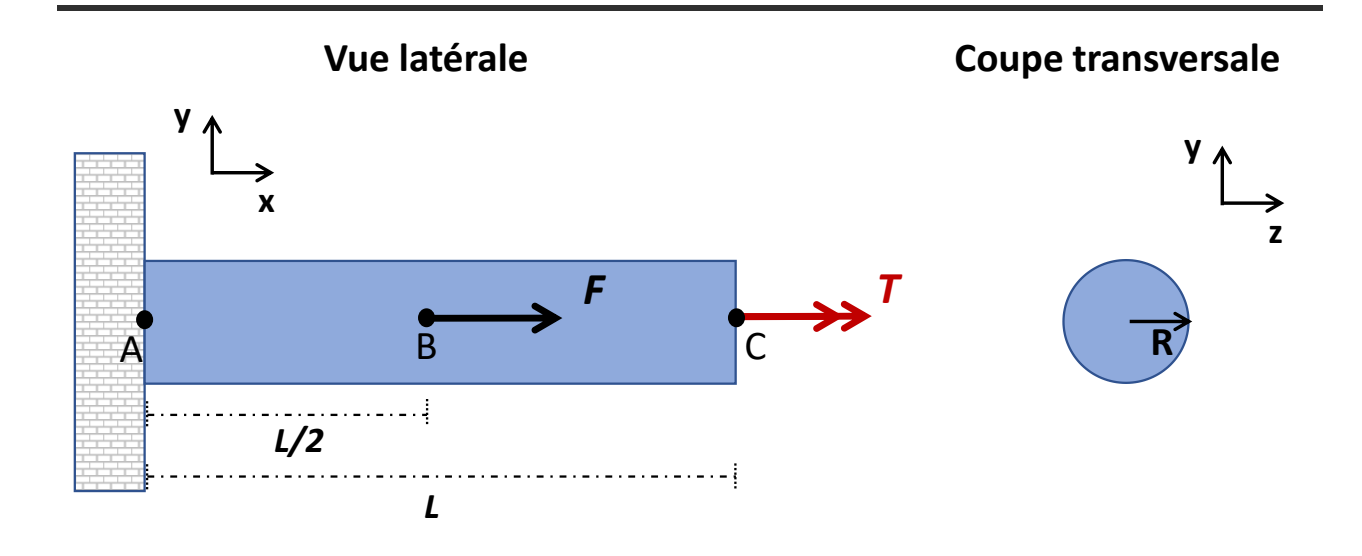
$$\tau_{xy} = -\frac{\sigma_{1} - \sigma_{2}}{2} sin(-2\theta_{p}) + 0 * cos(-2\theta_{p}) = -\frac{\sigma_{1} - \sigma_{2}}{2} sin(-2\theta_{p})$$

Numerical application as above.

Une poutre métallique cylindrique homogène fixée à une extrémité est sous l'influence d'une force et d'un couple comme le montre la **Figure 3** ci-dessous. Au point C, un couple  $\vec{T}=50~[N*m]$ , et au point B une force normale  $\vec{F}=F~\overrightarrow{e_x}$  agissent sur la poutre. Considérons que la poutre a les propriétés suivantes: L=1~[m], R=1~[cm], la contrainte limite d'élasticité  $\sigma_{vield}=250/m~[MPa]$ .

- a. [1 point] Exprimer les contraintes normales,  $\sigma_x$  et  $\sigma_y$ , en fonction de la force F dans le segment AB (pas de valeurs numériques demandées).
- b. [2 points] Pour chacun des segments, AB et BC, exprimer la contrainte de cisaillement maximale en fonction de la force F et du couple T appliqués (pas de valeurs numériques demandées).
- c. [5 points] En utilisant le critère de la « Contrainte maximale » et pour un facteur de sécurité FS=2, calculer la valeur numérique de la force maximale F appliquée à la rupture.

<u>Important en c)</u>: Résoudre des systèmes d'équation uniquement numériquement ne rapportera aucun point. <u>Une résolution analytique complète est demandée comme solution</u>.



**Figure 3:** Poutre cylindrique soumise à des charges axiales et de torsion; vue latérale et coupe transversale.

a. [1 point] Exprimer les contraintes normales,  $\sigma_x$  et  $\sigma_y$ , en fonction de la force F dans le segment AB (pas de valeurs numériques demandées).

We define  $\sigma_x$  and  $\sigma_v$  as

$$\sigma_x = \frac{N}{A} = \frac{F}{A} = \frac{F}{\pi R^2}$$
 and  $\sigma_y = 0$   
 $A = \pi R^2 = \pi (1 [cm])^2 = 3.142 * 10^{-4} [m^2]$ 

b. [2 points] Pour chacun des segments, AB et BC, exprimer la contrainte de cisaillement maximale en fonction de la force F et du couple T appliqués (pas de valeurs numériques demandées).

For segment BC, we calculate torsional component of shear stress from the following formula which is maximum at the outer edge of the cylinder:

$$\tau_{xy} = \frac{T_{int} * r}{I_p} = \tau_{xy} = \frac{T * R}{I_p}$$
$$0 = -T_{int} + T \text{ so } T_{int} = T$$

For segment AB: 
$$au_{xy,max} = \pm \sqrt{\left(\frac{F}{2A}\right)^2 + \left(\frac{T*R}{I_p}\right)^2} = \pm \sqrt{\left(\frac{F}{2A}\right)^2 + \left(\frac{2T}{\pi R^3}\right)^2}$$

Since this is a cylinder made of a single, homogeneous material, we know:

$$I_P = \int_A \rho^2 dA = \int_{r_{inner}}^{r_{outer}} 2\pi \rho^3 d\rho = \frac{\pi}{2} r^4$$

$$I_P = \frac{\pi}{2} r^4 = \frac{\pi}{2} (0.01 [m])^4 = 15.71 * 10^{-9} [m^4]$$

Resulting in

$$\tau_{xy} = \frac{T_{int}*r}{I_p} = \frac{T*R}{\frac{\pi}{2}R^4} = \frac{2T}{\pi R^3}$$

$$\tau_{xy} = \frac{T*R}{I_p} = \frac{(50 [N*m])(0.01 [m])}{(15.708*10^{-9} [m^4])} = 31.83 [MPa]$$

c. [5 points] En utilisant le critère de la « Contrainte maximale » et pour un facteur de sécurité FS=2, en reliant la contrainte maximale,  $\sigma_{max}$ , aux contraintes normales et de cisaillement, calculer la valeur numérique de la force maximale F appliquée à la rupture.

We define 
$$\sigma_{max}$$
 as  $\sigma_{max}=rac{\sigma_{yield}}{SF}$   $\sigma_{max}=rac{250}{2\pi}\left[MPa
ight]=39.79\left[MPa
ight]$ 

We use the equation that can relate  $\sigma_{max}$  to  $\sigma_x$  and  $\tau_{x,y\;max}$ :

$$\sigma_{max} = \frac{\sigma_{yield}}{SF} = \frac{\sigma_x + \sigma_y}{2} \pm \sqrt{\left(\frac{\sigma_x - \sigma_y}{2}\right)^2 + \tau_{xy}^2}$$

We now implement these expressions and values in the formula for principal stresses:

$$\sigma_{max} = \frac{\sigma_{yield}}{SF} = \frac{\sigma_x}{2} + \sqrt{\left(\frac{\sigma_x}{2}\right)^2 + \left(\frac{2T_{int}}{\pi r^3}\right)^2}$$

$$\sigma_{max} = \frac{\sigma_{yield}}{SF} = \frac{1}{2} \left(\frac{F}{A} + \sqrt{\left(\frac{F}{A}\right)^2 + 4\tau_{xy}^2}\right) = \frac{1}{2} \left(\frac{F}{A} + \sqrt{\left(\frac{F}{A}\right)^2 + 4\left(\frac{2T_{int}}{\pi r^3}\right)^2}\right)$$

Method 1: Solving for  $\sigma_x$ 

$$\sigma_{max} = \frac{\sigma_x}{2} \pm \sqrt{\left(\frac{\sigma_x}{2}\right)^2 + \tau_{xy}^2}$$

We rearrange this solution to solve as a function of  $\sigma_x$ :

$$2\sigma_{max} = \sigma_x \pm \sqrt{\sigma_x^2 + 4\tau_{xy}^2}$$

$$(2\sigma_{max} - \sigma_x)^2 = \sigma_x^2 + 4\tau_{xy}^2$$

$$4\sigma_{max}^2 - 4\sigma_{max}\sigma_x + \sigma_x^2 = \sigma_x^2 + 4\tau_{xy}^2$$

$$4\sigma_{max}^2 - 4\sigma_{max}\sigma_x = 4\tau_{xy}^2$$

$$\sigma_x = \sigma_{max} - \frac{\tau_{xy}^2}{\sigma_{max}}$$
OR
$$\sigma_{max} = \frac{\sigma_x}{2} \pm \sqrt{\left(\frac{\sigma_x}{2}\right)^2 + \tau_{xy}^2}$$

$$\left(\sigma_{max} - \frac{\sigma_{x}}{2}\right)^{2} = \frac{\sigma_{x}^{2}}{4} + \tau_{xy}^{2}$$

$$\sigma_{max}^{2} - \sigma_{max}\sigma_{x} + \frac{\sigma_{x}^{2}}{4} = \frac{\sigma_{x}^{2}}{4} + \tau_{xy}^{2}$$

$$\sigma_{max}\sigma_{x} = \sigma_{max}^{2} - \tau_{xy}^{2}$$

$$\sigma_{x} = \sigma_{max} - \frac{\tau_{xy}^{2}}{\sigma_{max}}$$

$$\sigma_{x} = \sigma_{max} - \frac{\tau_{xy}^{2}}{\sigma_{max}} = 39.79 [MPa] - \frac{(31.83 [MPa])^{2}}{39.79 [MPa]}$$

$$\sigma_{x} = 14.33 [MPa]$$

$$F = A * \sigma_{x}$$

$$F = (3.142 * 10^{-4} [m^{2}])(14.33 [MPa]) = 4500 [N]$$

## Method 2: Solving for F

$$\begin{split} \sigma_{max} &= \frac{\sigma_{yield}}{SF} = \frac{1}{2} \left( \frac{F}{\pi r^2} \pm \sqrt{\left( \frac{F}{\pi r^2} \right)^2 + 4\tau_{xy}^2} \right) = \frac{1}{2} \left( \frac{F}{\pi r^2} \pm \sqrt{\left( \frac{F}{\pi r^2} \right)^2 + 4\left( \frac{2T_{int}}{\pi r^3} \right)^2} \right) \\ & \frac{\sigma_{yield}}{SF} = \frac{1}{2\pi r^2} \left( F \pm \sqrt{F^2 + 8\frac{T_{int}^2}{r^2}} \right) \\ & \left( 2\pi r^2 \left( \frac{\sigma_{yield}}{SF} \right) - F \right)^2 = F^2 + 8\frac{T_{int}^2}{r^2} \\ & 4\pi^2 r^4 \left( \frac{\sigma_{yield}}{SF} \right)^2 - 4\pi r^2 \left( \frac{\sigma_{yield}}{SF} \right) F + F^2 = F^2 + 8\frac{T_{int}^2}{r^2} \\ & \pi^2 r^4 \left( \frac{\sigma_{yield}}{SF} \right)^2 - \pi r^2 \left( \frac{\sigma_{yield}}{SF} \right) F = 2\frac{T_{int}^2}{r^2} \\ & F = \frac{1}{\pi r^2} \left( \frac{\sigma_{yield}}{SF} \right) \left[ \pi^2 r^4 \left( \frac{\sigma_{yield}}{SF} \right)^2 - 2\frac{T_{int}^2}{r^2} \right] \\ & F = \pi r^2 \left[ \frac{\sigma_{yield}}{SF} - \frac{4SF * T_{int}^2}{\pi^2 r^6 \sigma_{yield}} \right] \\ & F = \pi * (1 \ [cm])^2 \left[ \frac{250}{2\pi} \left[ MPa \right] - \frac{4 * 2 * T_{int}^2}{\pi^2 * (1 \ [cm])^6 * \left( \frac{250}{\pi} \left[ MPa \right] \right) \right] \end{split}$$

$$F = 4500 [N]$$